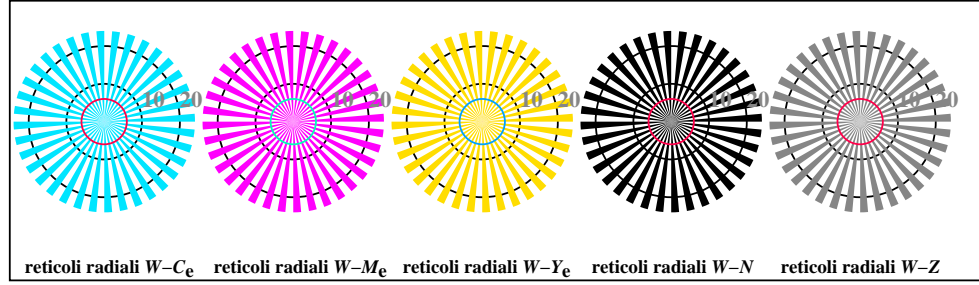


TI911-1, Fig. B4We: 16 equidistante passi $W-C_e; W-M_e; W-Y_e; W-N$; $rgb/cmy0 \rightarrow rgb_e$ setrgbcolor

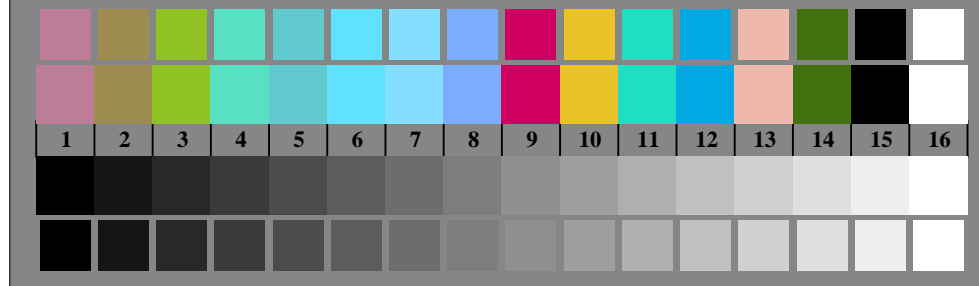
$+-.:$	Q	O	O	C	$lmno$	C	O	C	O	$lmno$	O	O	O	$pqrs$	O	O	O	O	$tuvw$	O	O	O	O
$xyz;$	O	O	O	C	$hijk$	O	O	O	O	$hijk$	O	O	O	$lmno$	O	O	O	O	$lmno$	O	O	O	O
$tuvw$	O	O	O	C	$defg$	O	O	O	O	$defg$	O	O	O	$hijk$	O	O	O	O	$+-.:$	O	O	O	O
$pqrs$	O	O	O	C	$!abc$	O	O	O	O	$!abc$	O	O	O	$xyz;$	O	O	O	O	$tuvw$	O	O	O	O
$lmno$	O	O	O	C	$+-.:$	O	O	O	O	$+-.:$	O	O	O	$defg$	O	O	O	O	$defg$	O	O	O	O
$hijk$	C	C	C	C	$xyz;$	O	O	O	O	$tuvw$	O	O	O	$!abc$	O	O	O	O	$!abc$	O	O	O	O
$defg$	O	O	O	C	$lmno$	O	O	O	O	$defg$	O	O	O	$xyz;$	O	O	O	O	$lmno$	O	O	O	O
$!abc$	O	O	O	C	$hijk$	O	O	O	O	$!abc$	O	O	O	$defg$	O	O	O	O	$defg$	O	O	O	O
10	N	C_e	M_e	Y_e	Z	10	N	C_e	M_e	Y_e	Z	10	N	C_e	M_e	Y_e	Z	6	N	C_e	M_e	Y_e	Z

TI910-3, Fig. B1We: motivo floreale, 14 prova colori CIE i 2 + 16 grigio passi (nf); ; PS 3 colorimage

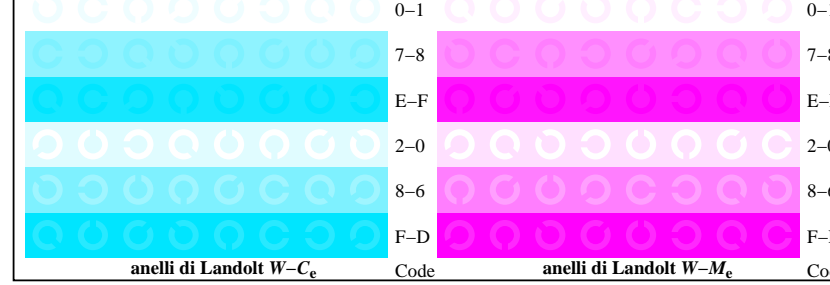


reticolli radiali $W-C_e$ reticolli radiali $W-M_e$ reticolli radiali $W-Y_e$ reticolli radiali $W-N$ reticolli radiali $W-Z$

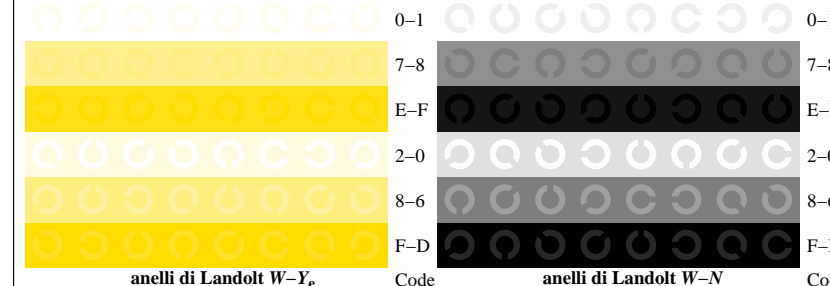
TI910-5, Fig. B2We: reticolli radiali $W-C_e; W-M_e; W-Y_e; W-N$; PS operator $rgb \rightarrow rgb_e$ setrgbcolor



TI910-7, Fig. B3We: 14 prova colori CIE i 2 + 16 grigio passi (sf); $rgb/cmy0 \rightarrow rgb_e$ setrgbcolor



TI911-5, Fig. B6We: anelli di Landolt $W-C_e; W-M_e$; PS operator $rgb \rightarrow rgb_e$ setrgbcolor



TI911-7, Fig. B7We: anelli di Landolt $W-Y_e; W-N$; PS operator $rgb \rightarrow rgb_e$ setrgbcolor